

I — 5 非軸対称荷重を担う円環厚板の3次元応力解析

北見工業大学 正員 奥村 勇
北見工業大学 正員 尾中 孝美

1. まえがき

一般に、J. Boussinesq の解、一般化された Neuber の解、B. Galerkin の解、及び著者の一人により提案されている拡張された Neuber の解には、変位のベクトルボテンシャルを求めることが、必ずしもその一つである。本研究は、著者の一人がすでに報告したこれらの短所を改良した一つの解を用いて、非軸対称荷重を担う円環厚板の応力解析を試みたものである。この改良された Neuber の解には、物体力及び温度の効果を考慮したベクトルが含まれておらず一般化しているが、本研究では、これらの効果を無視した場合について解析し、それと厚板理論で得られた数値との比較を試みたものである。

2. 変位ベクトルと変位ボテンシャル

物体力、温度を無視した場合の、改良された Neuber の解を用いることにより、弹性体のつり合い方程式は、変位ベクトル \mathbf{u} で次のように表められる。

$$2G\mathbf{u} = -\nabla \cdot \mathbf{F} + 4(1-\nu)\mathbf{v}_z + 2\nu \mathbf{v}_{zz} \quad (1)$$

$$\text{ここで, } \mathbf{F} = f_r + f_z \nabla \cdot \mathbf{g}_r - 4(1-\nu)\mathbf{g}_r + \nu \mathbf{v}, \mathbf{v} = [0, 0, -\partial_r / \partial z + g_z], \mathbf{g}_r = [d_r, d_\theta, d_z] \quad (2)$$

$$\nabla^2 \mathbf{g}_r = 0, \nabla^2 \mathbf{v} = 0, \nabla^2 \mathbf{u} = 0, \mathbf{u}_r = \mathbf{u}_\theta = 0, \nabla^2 \mathbf{u}_z = 0 \quad (3)$$

式(3)からわかるように物体力及び温度の効果を無視した場合、変位ボテンシャルはすべて調和関数となり、ベクトルボテンシャルも調和関数を求めるければ得られることになっている。式において、 G, ν はせん断弾性係数及びボアソン比である。

変位ボテンシャルは、調和関数により、次式の様に表められる。

$$\begin{aligned} \phi_{1(z)} &= \sum_{m=0}^{\infty} \sum_{n=1}^{\infty} \cos m\theta \left\{ J_m(\lambda_m r) (A_m^{(1)} \cosh \lambda_m z + L_m^{(1)} \sinh \lambda_m z) + Y_m(\lambda_m r) (A_m^{(2)} \cosh \lambda_m z + L_m^{(2)} \sinh \lambda_m z) \right\} \\ \phi_2 &= \sum_{m=0}^{\infty} \sum_{n=1}^{\infty} \cos m\theta \left\{ J_m(\lambda_m r) (C_m^{(1)} \sinh \lambda_m z + T_m^{(1)} \cosh \lambda_m z) + Y_m(\lambda_m r) (C_m^{(2)} \sinh \lambda_m z + T_m^{(2)} \cosh \lambda_m z) \right\} \\ \phi_{2(z)} &= \sum_{m=0}^{\infty} \sum_{n=1}^{\infty} \sin m\theta \left\{ J_m(\lambda_m r) (B_m^{(1)} \cosh \lambda_m z + G_m^{(1)} \sinh \lambda_m z) + Y_m(\lambda_m r) (B_m^{(2)} \cosh \lambda_m z + G_m^{(2)} \sinh \lambda_m z) \right\} \\ \phi_{3(r)} &= \sum_{m=0}^{\infty} \sum_{n=1}^{\infty} \cos m\theta \cosh \lambda_m z \left\{ D_m^{(1)} I_m(\beta_m r) + D_m^{(2)} K_m(\beta_m r) \right\} \end{aligned} \quad (4)$$

$$\begin{aligned} \phi_4 &= \sum_{m=0}^{\infty} \sum_{n=1}^{\infty} \cos m\theta \cosh \lambda_m z \left\{ F_m^{(1)} I_m(\beta_m r) + F_m^{(2)} K_m(\beta_m r) \right\} \\ \phi_{4(z)} &= \sum_{m=0}^{\infty} \sum_{n=1}^{\infty} \sin m\theta \cosh \lambda_m z \left\{ E_m^{(1)} I_m(\beta_m r) + E_m^{(2)} K_m(\beta_m r) \right\} \end{aligned}$$

$$\begin{aligned} \phi_{5(r)} &= \sum_{m=2}^{\infty} \cos m\theta D_m^{(2)} r^m + \sum_{m=1}^{\infty} \cos m\theta F_m^{(2)} r^{-m} + \sum_{m=1}^{\infty} \cos m\theta (-m I_m^{(2)}) / r^{m+2/2} - (m+1) r^{-m-2} \\ &\quad + \sum_{m=2}^{\infty} \cos m\theta (m I_m^{(2)}) / r^{-m+2/2} + (m-1) r^{-m-2} \end{aligned} \quad (5)$$

$$\begin{aligned} \phi_{6(r)} &= \sum_{m=1}^{\infty} \cos m\theta F_m^{(2)} / r^{m+2/2} - (m+1) r^{-m-2} + \sum_{m=2}^{\infty} \cos m\theta F_m^{(2)} / r^{-m+2/2} + (m-1) r^{-m-2} \\ \phi_{6(z)} &= -2(1-\nu) \sum_{m=1}^{\infty} \sin m\theta F_m^{(2)} / r^{m+2/2} - (m+1) r^{-m-2} + 2(1-\nu) \sum_{m=2}^{\infty} \sin m\theta F_m^{(2)} / r^{-m+2/2} + (m-1) r^{-m-2} \end{aligned} \quad (6)$$

$$\phi_{7(r)} = D_m \log r, \phi_{7(z)} = F_m(r^{1/2} - z^2), \phi_{8(z)} = C_0 z \quad (6)$$

$$\therefore \text{ここで, } A_{ms} = \lambda_{ms}/a, B_{ns} = n\pi/b \quad (m=0, 1, 2, 3, \dots, s=1, 2, 3, \dots, n=1, 2, 3, \dots)$$

また、 $A_m^{(1)}, \dots, C_0$ は境界条件によって決定される未知定数であり、 λ_{ms} は超越方程式の根である。

3. 変位成分、応力成分

変位成分 u_r, u_θ 及び u_z は、式(1)、式(2)及び式(3)より次の様に表められる。

$$\begin{aligned} 2G\mathbf{u}_r &= -\frac{\partial \phi}{\partial r} - \frac{\partial}{\partial r}(r \frac{\partial \phi}{\partial r}) - \frac{\partial}{\partial r}(z \frac{\partial \phi}{\partial z}) + 4(1-\nu) \frac{\partial \phi}{\partial z} + \frac{2}{r} \frac{\partial^2 \phi}{\partial z^2} \\ 2G\mathbf{u}_\theta &= -\frac{1}{r} \frac{\partial \phi}{\partial z} - \frac{1}{r} \frac{\partial}{\partial z}(r \frac{\partial \phi}{\partial r}) - \frac{1}{r} \frac{\partial}{\partial z}(z \frac{\partial \phi}{\partial z}) + 4(1-\nu) \frac{1}{r} \frac{\partial \phi}{\partial r} - z \frac{\partial \phi}{\partial r} \\ 2G\mathbf{u}_z &= -\frac{\partial \phi}{\partial z} - \frac{\partial}{\partial z}(r \frac{\partial \phi}{\partial r}) - \frac{\partial}{\partial z}(z \frac{\partial \phi}{\partial z}) + 4(1-\nu) \phi_z \end{aligned} \quad (7)$$

次に応力成分を、 σ_{rr} , $\sigma_{\theta\theta}$, σ_{zz} , $\sigma_{r\theta}$, σ_{rz} , 及び $\sigma_{z\theta}$ とすると、円柱座標系における応力とひずみの関係より次式が得られる。

$$\left. \begin{aligned} \sigma_{rr} &= \nabla^2 r - \frac{\partial^2}{\partial r^2} + 2(1-\nu) \frac{\partial^2}{\partial r \partial r} \left(\frac{1}{r} \frac{\partial u}{\partial r} \right) - \frac{1}{r} \frac{\partial}{\partial r} \left(\frac{1}{r} \frac{\partial u}{\partial r} \right) - \frac{\partial^2}{\partial r^2} \left(\frac{1}{r} \frac{\partial u}{\partial r} \right) + 2 \frac{\partial^2}{\partial r^2} \left(\frac{1}{r} \frac{\partial u}{\partial r} \right) \\ \sigma_{\theta\theta} &= \nabla^2 \theta - \frac{1}{r} \frac{\partial^2}{\partial \theta^2} - \frac{1}{r^2} \frac{\partial^2}{\partial r \partial \theta} + 2(1-\nu) \left\{ \frac{1}{r} \frac{\partial^2}{\partial r \partial \theta} \left(\frac{1}{r} \frac{\partial u}{\partial r} \right) - \frac{\partial^2}{\partial r \partial \theta} \left(\frac{1}{r} \frac{\partial u}{\partial r} \right) - \frac{\partial^2}{\partial \theta^2} \left(\frac{1}{r} \frac{\partial u}{\partial r} \right) \right\} - 2 \frac{\partial^2}{\partial r \partial \theta} \left(\frac{1}{r} \frac{\partial u}{\partial r} \right) \\ \sigma_{zz} &= \nabla^2 z - \frac{\partial^2}{\partial z^2} + 2(1-\nu) \left\{ \frac{\partial^2}{\partial z^2} \left(\frac{1}{r} \frac{\partial u}{\partial r} \right) - \frac{1}{r} \frac{\partial}{\partial r} \left(\frac{1}{r} \frac{\partial u}{\partial r} \right) \right\} \\ \sigma_{r\theta} &= -\frac{\partial}{\partial r} \left(\frac{1}{r} \frac{\partial u}{\partial r} \right) + 4(1-\nu) \frac{\partial}{\partial r} \left(\frac{1}{r} \frac{\partial u}{\partial r} \right) + \frac{1}{r^2} \frac{\partial^2}{\partial r^2} \left(\frac{1}{r} \frac{\partial u}{\partial r} \right) - r \frac{\partial}{\partial r} \left(\frac{1}{r} \frac{\partial u}{\partial r} \right) \\ \sigma_{rz} &= -\frac{1}{r} \frac{\partial^2}{\partial r \partial z} + 2(1-\nu) \frac{1}{r} \frac{\partial}{\partial r} \left(\frac{\partial u}{\partial z} + g_z \right) - \frac{\partial^2}{\partial r \partial z} \\ \sigma_{z\theta} &= -\frac{\partial^2}{\partial z \partial \theta} + 2(1-\nu) \frac{\partial}{\partial z} \left(\frac{\partial u}{\partial \theta} + g_\theta \right) + \frac{1}{r^2} \frac{\partial^2}{\partial z \partial \theta} \end{aligned} \right\} \quad (8)$$

変位成分は、式(4), 式(5)及び式(6)に示した変位ポテンシャルを式(7)に代入することにより得られる。ここで、式(4), 式(5), 式(6)及び式(7)から得られる変位成分にそのぞれ肩添字(1), (2), (3) 及び (00) を付して表すと次の通りである。

$$\left. \begin{aligned} 2g_{M_1}^{(1)} &= \sum_{m=0}^{\infty} \sum_{n=1}^{\infty} (-A_{mn}/2) \cos m\theta \left\{ J_{m-1}(A_{mn}) f_1(z) - J_{m+1}(A_{mn}) f_2(z) + Y_{m-1}(A_{mn}) g_1(z) - Y_{m+1}(A_{mn}) g_2(z) \right\} \\ 2g_{M_2}^{(1)} &= \sum_{m=0}^{\infty} \sum_{n=1}^{\infty} (A_{mn}/2) \sin m\theta \left\{ J_{m-1}(A_{mn}) f_1(z) + J_{m+1}(A_{mn}) f_2(z) + Y_{m-1}(A_{mn}) g_1(z) + Y_{m+1}(A_{mn}) g_2(z) \right\} \\ 2g_{M_3}^{(1)} &= \sum_{m=0}^{\infty} \sum_{n=1}^{\infty} (-) \cos m\theta \left\{ J_m(A_{mn}) f_3(z) + Y_m(A_{mn}) g_3(z) \right\} \\ \therefore \text{て}, \quad f_1(z) &= (A_{mn}^{(0)} - 2B_{mn}^{(0)}) \cosh A_{mn}z + (L_{mn}^{(0)} - 2g_{f_1}^{(0)}) \sinh A_{mn}z + C_{mn}^{(0)} z \sinh A_{mn}z + M_{mn}^{(0)} z \cosh A_{mn}z \\ f_2(z) &= (A_{mn}^{(0)} + Z_{mn}^{(0)}) \cosh A_{mn}z + (L_{mn}^{(0)} + 2g_{f_2}^{(0)}) \sinh A_{mn}z + C_{mn}^{(0)} z \sinh A_{mn}z + M_{mn}^{(0)} z \cosh A_{mn}z \\ f_3(z) &= \{A_{mn}A_{mn}^{(0)} - (3-4\nu)C_{mn}^{(0)}\} \sinh A_{mn}z + \{A_{mn}L_{mn}^{(0)} - (3-4\nu)M_{mn}^{(0)}\} \cosh A_{mn}z + C_{mn}^{(0)} A_{mn}z \cosh A_{mn}z \\ &\quad + M_{mn}^{(0)} A_{mn}z \sinh A_{mn}z \end{aligned} \right\} \quad (9) \quad (10)$$

$g_1(z)$, $g_2(z)$ 及び $g_3(z)$ は、式(10)の $f_1(z)$, $f_2(z)$ 及び $f_3(z)$ の式に含まれる未知数の肩添字(1)を(2)に置換したものである。

$$\left. \begin{aligned} 2g_{M_1}^{(2)} &= \sum_{m=0}^{\infty} \sum_{n=1}^{\infty} (-A_n/2) \cos m\theta \cos n\theta z \left[I_{m-1}(A_n) f_{mn}^{(2)} + I_{m+1}(A_n) \bar{f}_{mn}^{(2)} + 2 \bar{f}_{mn}^{(2)} \beta_{mn} I_m(A_n) - \{K_{m+1}(A_n) f_{mn}^{(2)} \right. \\ &\quad \left. + K_{m-1}(A_n) \bar{f}_{mn}^{(2)} - 2 \bar{f}_{mn}^{(2)} \beta_{mn} K_m(A_n)\} \right] \\ 2g_{M_2}^{(2)} &= \sum_{m=0}^{\infty} \sum_{n=1}^{\infty} (A_n/2) \sin m\theta \cos n\theta z \left[I_{m-1}(A_n) f_{mn}^{(2)} - I_{m+1}(A_n) \bar{f}_{mn}^{(2)} - \{K_{m-1}(A_n) f_{mn}^{(2)} - K_{m+1}(A_n) \bar{f}_{mn}^{(2)}\} \right] \\ 2g_{M_3}^{(2)} &= \sum_{m=0}^{\infty} \sum_{n=1}^{\infty} (A_n) \cos m\theta \sin n\theta z \left\{ (D_{mn}^{(2)} + m A_{mn}^{(2)}) I_m(A_n) + \bar{f}_{mn}^{(2)} \beta_{mn} I_{m+1}(A_n) + (D_{mn}^{(2)} + m \bar{f}_{mn}^{(2)}) K_m(A_n) \right. \\ &\quad \left. - \bar{f}_{mn}^{(2)} \beta_{mn} K_{m+1}(A_n)\} \right\} \\ \therefore \text{て}, \quad f_{mn}^{(2)} &= D_{mn}^{(2)} + (m-4+4\nu) \bar{f}_{mn}^{(2)} - 2 E_{mn}^{(2)}, \quad \bar{f}_{mn}^{(2)} = D_{mn}^{(2)} - (m+4-4\nu) f_{mn}^{(2)} + 2 E_{mn}^{(2)} \quad (12) \\ f_{mn}^{(2)} &= D_{mn}^{(2)} + (m-4+4\nu) \bar{f}_{mn}^{(2)} - 2 E_{mn}^{(2)}, \quad \bar{f}_{mn}^{(2)} = D_{mn}^{(2)} - (m+4-4\nu) f_{mn}^{(2)} + 2 E_{mn}^{(2)} \\ 2g_{M_1}^{(10)} &= \sum_{m=2}^{\infty} (-) \cos m\theta \left\{ D_{mn}^{(2)} m t^{-m-1} - D_{mn}^{(2)} m t^{-m-1} + (m-2+4\nu) \bar{f}_{mn}^{(2)} t^{m+1} - (m+2-4\nu) f_{mn}^{(2)} t^{-m+1} \right\} \\ 2g_{M_2}^{(10)} &= \sum_{m=2}^{\infty} \sin m\theta \left\{ D_{mn}^{(2)} m t^{-m-1} + D_{mn}^{(2)} m t^{-m-1} + (m+4-4\nu) \bar{f}_{mn}^{(2)} t^{m+1} + (m-4+4\nu) f_{mn}^{(2)} t^{-m+1} \right\} \quad (13) \\ 2g_{M_3}^{(10)} &= 0 \\ 2g_{M_1}^{(100)} &= 2r(1-2\nu) f_{00} - D_0/r \\ 2g_{M_2}^{(100)} &= 0 \\ 2g_{M_3}^{(100)} &= 2(1-2\nu) C_{00} z \end{aligned} \right\} \quad (14)$$

したがって求めた変位成分は、式(9), 式(11), 式(13) 及び式(14)をそれぞれ加えたものであり次式で表わされる。

$$\left. \begin{aligned} 2g_{M_1} &= 2g_{M_1}^{(1)} + g_{M_1}^{(2)} + M_1^{(0)} + M_1^{(10)} \\ 2g_{M_2} &= 2g_{M_2}^{(1)} + g_{M_2}^{(2)} + M_2^{(0)} + M_2^{(10)} \\ 2g_{M_3} &= 2g_{M_3}^{(1)} + g_{M_3}^{(2)} + M_3^{(0)} + M_3^{(10)} \end{aligned} \right\} \quad (15)$$

同様にして、応力成分 σ_{rr} , $\sigma_{\theta\theta}$, σ_{zz} , $\sigma_{r\theta}$, σ_{rz} 及び $\sigma_{z\theta}$ は、式(4), 式(5)及び式(6)の変位ポテンシャルを式(8)に代入して求められる。或いは、式(9)から式(14)に示した変位成分とひずみ成分の関係より求めることができが、応力成分の式は省略する。

4. 境界条件及び未知定数に関する連立1次方程式

図-1に示した周辺固定の円環厚板が上面($z=h$)の中央付近に2つの部分分布荷重を担。左場合の境界条件は、次式で表められる。

$r=a$ において

$$u_r=0, u_\theta=0, u_z=0 \quad \dots \dots \dots (16)$$

$r=b$ において

$$u_r=0, u_\theta=0, u_z=0 \quad \dots \dots \dots (17)$$

$z=0$ において

$$\widehat{v_{rz}}=0, \widehat{v_{\theta z}}=0, \widehat{v_{zz}}=0 \quad \dots \dots \dots (18)$$

$z=h$ において

$$\widehat{v_{rz}}=0, \widehat{v_{\theta z}}=0, \widehat{v_{zz}}=-P(r, \theta) \quad \dots \dots \dots (19)$$

ここで、

$$P(r, \theta) = \begin{cases} 8[0 < \theta < \theta_0, \pi - \theta_0 < \theta < \pi + \theta_0 \text{ あるいは } 2\pi - \theta_0 < \theta < 2\pi] \\ 8[(a+b-c)/2 < r < (a+b+c)/2] \\ 0 [\text{上記以外の場合}] \end{cases} \quad \dots \dots \dots (20)$$

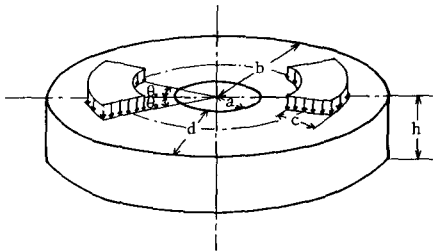


図-1 部分荷重を担う円環厚板

式(18)及び式(19)の境界条件を $\widehat{v_{rz}}$ 及び $\widehat{v_{\theta z}}$ に課すると未知定数の間に次の関係が得られる。

$$\left. \begin{aligned} G_{ms}^{(2)} &= 0, G_{ms}^{(1)} = 0, B_{ms}^{(2)} = 0, B_{ms}^{(1)} = 0 \\ L_{ms}^{(2)} &= \frac{J_m^{(2)}}{\lambda_{ms}} (1-2\nu), L_{ms}^{(1)} = \frac{J_m^{(1)}}{\lambda_{ms}} (1-2\nu), (\lambda_{ms} \neq 0) \\ A_{ms}^{(2)} &= \frac{1}{\lambda_{ms}} \{ C_{ms}^{(2)} (1-2\nu - \text{dash cost dash}) - M_{ms}^{(2)} \text{dash} \} \\ A_{ms}^{(1)} &= \frac{1}{\lambda_{ms}} \{ C_{ms}^{(1)} (1-2\nu - \text{dash cost dash}) - M_{ms}^{(1)} \text{dash} \} \end{aligned} \right\} \quad \dots \dots \dots (21)$$

さらに、式(16)及び式(17)の境界条件より未知定数の間に次の関係を設ける。

$$C_{ms}^{(2)} = -E_{ms} C_{ms}^{(1)}, M_{ms}^{(2)} = -E_{ms} M_{ms}^{(1)} \quad \dots \dots \dots (22)$$

ここで、

$$E_{ms} = \frac{J_m(\lambda_{ms})}{J_m(\lambda_{ms})} \quad \dots \dots \dots (23)$$

式(21)及び式(22)における未知定数の関係式を用いると、肩添字(1)の変位成分及び応力成分は、次式、

$$\left. \begin{aligned} C_{ms}(\text{dash}) &= J_m(\text{dash}) - E_{ms} Y_m(\text{dash}) \\ C_{m+1}(\text{dash}) &= J_{m+1}(\text{dash}) - E_{ms} Y_{m+1}(\text{dash}) \end{aligned} \right\} \quad \dots \dots \dots (24)$$

で定義されるゆえまたは、 $(m+1)$ 次の円柱関数 $C_m(\text{dash})$, $C_{m+1}(\text{dash})$ ですべて表められる。

ここで、式(16)及び式(17)の境界条件より、 λ_{ms} を次の超越方程式、

$$J_m(k\lambda_{ms}) Y_m(k\lambda_{ms}) - J_{m+1}(k\lambda_{ms}) Y_{m+1}(k\lambda_{ms}) = 0, \quad k = \frac{b}{a} \quad \dots \dots \dots (25)$$

を満足する様として選ぶと、 $(2G M_{ms}^{(2)})_{r=a}=0, (2G M_{ms}^{(1)})_{r=b}=0$ となるので、境界条件は次の条件に変る。

$$(2G M_{ms}^{(2)})_{r=a}=0, (2G M_{ms}^{(1)})_{r=b}=0 \quad \dots \dots \dots (26)$$

式(26)の境界条件より、変位成分及び応力成分の式に含まれる未知数 $D_{ms}^{(2)}$, $D_{ms}^{(1)}$ は、それそれ、未知定数 $F_{ms}^{(2)}$, $F_{ms}^{(1)}$ で表められ、また、式(16)及び式(17)の境界条件より未知定数 $E_{ms}^{(2)}$, $E_{ms}^{(1)}$ は、 $F_{ms}^{(2)}$ 及び $F_{ms}^{(1)}$ で表められるので、肩添字(2)の変位成分及び応力成分の式から $S D_{ms}^{(2)}$, $D_{ms}^{(2)}$, $E_{ms}^{(2)}$ 及び $E_{ms}^{(1)}$ を消去することができる。

また、式(16)及び式(17)の境界条件から、肩添字(1)の変位成分及び応力成分における未知定数 $D_{ms}^{(1)}$, $D_{ms}^{(1)}$ は、 $F_{ms}^{(2)}$ 及び $F_{ms}^{(1)}$ で表められる。

式(20)における部分分布荷重を、式(25)の条件の下にFourier-Dini展開すると次式となる。

$$P(r, \theta) = \sum_{m=0}^{\infty} \sum_{n=1}^{\infty} C_{ms} \cos m\theta C_m(\text{dash}) \quad \dots \dots \dots (27)$$

ここで、

(1) $m=0$ の場合

$$C_{0s} = \frac{4\pi^2/\pi}{\lambda_{0s}^2 + C_s^2(\lambda_{0s}) - G_s^2(\lambda_{0s})} \left[\frac{\lambda_{0s}}{2} (1+k+\frac{c}{a}) C_1 \left\{ \frac{\lambda_{0s}}{2} (1+k+\frac{c}{a}) \right\} - \frac{\lambda_{0s}}{2} (1+k-\frac{c}{a}) C_1 \left\{ \frac{\lambda_{0s}}{2} (1+k-\frac{c}{a}) \right\} \right] \quad (28)$$

(2) $m \neq 0$ の場合

$$C_{ms} = \frac{(8\pi/m\pi) \sin m\pi}{\lambda_{ms}^2 + C_m^2(\lambda_{ms}) - G_m^2(\lambda_{ms})} \left[\frac{\lambda_{ms}}{2} (1+k+\frac{c}{a}) C_{m+1} \left\{ \frac{\lambda_{ms}}{2} (1+k+\frac{c}{a}) \right\} - \frac{\lambda_{ms}}{2} (1+k-\frac{c}{a}) C_{m+1} \left\{ \frac{\lambda_{ms}}{2} (1+k-\frac{c}{a}) \right\} \right. \\ \left. + m \int_{(a+b-c)/2}^{(a+b+c)/2} C_{m+1}(\lambda_{ms}) d(\lambda_{ms}) \right] \quad (m=3, 4, 6, \dots, s=1, 2, 3, \dots) \quad (29)$$

$$\therefore \text{て}, \int_{(a+b-c)/2}^{(a+b+c)/2} C_{m+1}(\lambda_{ms}) d(\lambda_{ms}) = \left[\lambda_{ms}/2 \left\{ C_{m+1}(\lambda_{ms}) S_{ms}(\lambda_{ms}) - C_m(\lambda_{ms}) S_{m+1}(\lambda_{ms}) \right\} \right]_{(a+b-c)/2}^{(a+b+c)/2} \quad (30)$$

式(30)の $S_m(\lambda_{ms})$ 及び $S_{m+1}(\lambda_{ms})$ は, Schaffley の多項式で次式のようになる。

$$S_k(\lambda_{ms}) = \pi \sum_{l=k}^k \{ J_k(\lambda_{ms}) Y_l(\lambda_{ms}) - J_l(\lambda_{ms}) Y_k(\lambda_{ms}) \} \quad (31)$$

ただし、式(30)の λ は m 及び $(m+1)$ を表す。

以上、 A_1 及び A_2 に関する境界条件を除き他の境界条件はすべて満たされたので、次に、 B_1 に関する境界条件を満たすために、前添字(1)に関する未確定数の関係式、すなわち、式(21)により消去した $M_1^{(1)}$ を Fourier 展開し、 $D_{ms}^{(1)}$, $E_{ms}^{(1)}$ 及び $F_{ms}^{(1)}$ を消去した $M_1^{(2)}$ 、及び $D_{ms}^{(2)}$, $E_{ms}^{(2)}$ を消去した $M_1^{(3)}$ 、そして $M_1^{(4)}$ を抽出それ $r=a$, $r=b$ について組み合わせ、境界条件を課すと次の3組の方程式が得られる。ただし、式は無次元化している。

$$\begin{bmatrix} A_{11} & A_{12} \\ A_{21} & A_{22} \end{bmatrix} \begin{bmatrix} \bar{F}_{ms}^{(1)} \\ \bar{F}_{ms}^{(2)} \end{bmatrix} = \begin{bmatrix} b_1 \\ b_2 \end{bmatrix} \quad (32), \quad \begin{bmatrix} b_{11} & b_{12} \\ b_{21} & b_{22} \end{bmatrix} \begin{bmatrix} \bar{F}_{ms}^{(1)} \\ \bar{F}_{ms}^{(2)} \end{bmatrix} = \begin{bmatrix} c_1 \\ c_2 \end{bmatrix} \quad (33)$$

$$\left. \begin{aligned} 2(1-2U)\bar{F}_{ms} - \bar{D}_{ms} &= 2U \frac{a}{\pi} \sum_{s=1}^{\infty} \frac{1}{\lambda_{ms}} C_1(\lambda_{ms}) \{ (\bar{C}_{ms} + \bar{P}_{ms})(1 - e^{-\text{dash}}) \} \\ 2k^2(1-2U)\bar{F}_{ms} - \bar{D}_{ms} &= 2U \frac{a}{\pi} \sum_{s=1}^{\infty} \frac{1}{\lambda_{ms}} C_1(\lambda_{ms}) \{ (\bar{C}_{ms} + \bar{P}_{ms})(1 - e^{-\text{dash}}) \} \end{aligned} \right\} \quad (34)$$

$$\therefore \text{て}, \quad \left. \begin{aligned} A_{11} &= i_a f'm(f_a - f_{e1} + m - 4 + 4U) + (f_a a)^2 + i_b(f_a - 4 + 4U) f_b a + m k_a(f_a - f_{e1}) - f_b f_a \\ A_{12} &= k_a f'm(f_b' - f_{e2} + m - 4 + 4U) + (f_b a)^2 - (f_b - 4 + 4U) f_b a + m i_a(f_b - f_{e2}) + i_b f_a f_b \\ A_{21} &= \frac{1}{k} \{ m(f_a - f_{e1} + m - 4 + 4U) + (f_a a)^2 + i_b(f_a - 4 + 4U) f_b b + m k_b(f_a - f_{e1}) - f_b f_a f_b' \} \\ A_{22} &= \frac{1}{k} \{ m(f_b' - f_{e2} + m - 4 + 4U) + (f_b a)^2 \} k_b - k_b(f_b' - 4 + 4U) f_b b + m(f_b - f_{e2}) + i_b f_a b f_b \} \\ b_1 &= 4 \frac{a}{\pi} \sum_{s=1}^{\infty} C_{m+1}(\lambda_{ms}) \frac{2\lambda_{ms}[(Aa)^2 - U\{(\lambda_{ms}^2 + (Aa)^2)\}]}{\{(\lambda_{ms}^2 + (Aa)^2)^2\}} \{ C_{ms} \{ (-1)^m e^{-\text{dash}} \} + P_{ms} \{ 1 - (-1)^m e^{-\text{dash}} \} \} \\ b_2 &= 4 \frac{a}{\pi} \sum_{s=1}^{\infty} C_{m+1}(\lambda_{ms}) \frac{2\lambda_{ms}[(Aa)^2 - U\{(\lambda_{ms}^2 + (Aa)^2)\}]}{\{(\lambda_{ms}^2 + (Aa)^2)^2\}} \{ C_{ms} \{ (-1)^m e^{-\text{dash}} \} + P_{ms} \{ 1 - (-1)^m e^{-\text{dash}} \} \} \\ b_{11} &= (m+4-4U)(2k^{m+1} - k^{m+1} - k^{m-1})/(k^{m+1} - k^{m-1}) + (m-2+4U) \\ b_{12} &= (m-4+4U)(2k^{m+1} - k^{m+1} - k^{m-1})/(k^{m+1} - k^{m-1}) - (m+2-4U) \\ b_{21} &= (m+4-4U)(k^{2m} - 2k^2 + 1)/(k^{m+1} - k^{m-1}) + (m-2+4U)k^{m+1} \\ b_{22} &= (m-4+4U)(k^{2m} - 2k^2 + 1)/(k^{m+1} - k^{m-1}) - (m+2-4U)k^{m+1} \\ C_1 &= -2U \frac{a}{\pi} \sum_{s=1}^{\infty} \frac{1}{\lambda_{ms}} C_{m+1}(\lambda_{ms}) \{ (\bar{C}_{ms} + \bar{P}_{ms})(1 - e^{-\text{dash}}) \} \\ C_2 &= -2U \frac{a}{\pi} \sum_{s=1}^{\infty} \frac{1}{\lambda_{ms}} C_{m+1}(\lambda_{ms}) \{ (\bar{C}_{ms} + \bar{P}_{ms})(1 - e^{-\text{dash}}) \} \end{aligned} \right\} \quad (35)$$

$$\frac{Im(\bar{a}b\bar{F}_{ms}^{(1)})}{\bar{g}a^2} = \bar{F}_{ms}^{(1)}, \quad \frac{K_{m+1}(Aa)\bar{F}_{ms}^{(2)}}{\bar{g}a^2} = \bar{F}_{ms}^{(2)}, \quad \frac{C_{ms}}{\bar{g}a} = e^{-\text{dash}} \bar{C}_{ms} + \bar{P}_{ms}$$

$$\frac{M_{ms}^{(1)}}{\bar{g}a} = e^{-\text{dash}} \bar{C}_{ms} - \bar{P}_{ms}, \quad \frac{a^m \bar{F}_{ms}^{(1)}}{\bar{g}} = \bar{F}_{ms}^{(1)}, \quad \frac{\bar{a}^m \bar{F}_{ms}^{(2)}}{\bar{g}} = \bar{F}_{ms}^{(2)} \quad (36)$$

$$\frac{\bar{F}_{ms}}{\bar{g}} = \bar{F}_{ms}, \quad \frac{\bar{D}_{ms}}{\bar{g}a^2} = \bar{D}_{ms}, \quad \frac{C_{ms}'}{\bar{g}a} = e^{-\text{dash}} \bar{C}_{ms} + \bar{P}_{ms}, \quad \frac{M_{ms}^{(2)}}{\bar{g}a} = e^{-\text{dash}} \bar{C}_{ms} - \bar{P}_{ms}$$

$$i_a = \frac{Im(Aa)}{Im(Ab)}, \quad i_a' = \frac{Im_{m+1}(Ab)}{Im(Ab)}, \quad i_b' = \frac{Im_{m+1}(Ab)}{Im(Ab)} \quad (37)$$

$$k_a = \frac{K_m(Aa)}{K_{m+1}(Aa)}, \quad k_b = \frac{K_m(Ab)}{K_{m+1}(Ab)}, \quad k_b' = \frac{K_{m+1}(Ab)}{K_{m+1}(Ab)}$$

式(35)における $f_{a1}, f_{a1}', \dots, f_{a2}$ は境界条件を課すことにより求まる係数であるがここでは省略する。

同様にして、式(18)及び式(19)の境界条件を満たすために、 $D_{mn}^{''''}, D_{mn}^{''''}, E_{mn}^{(0)}$ 及び $E_{mn}^{(1)}$ を消去した $z=0$ 及び $z=h$ における $\bar{f}_{mn}^{(2)}, \bar{f}_{mn}^{(3)}$ 及び $\bar{f}_{mn}^{(4)}$ を消去した $\bar{f}_{mn}^{(10)}$ を、式(25)の条件の下で $D_{mn}^{''''}$ 展開し、 $z=0, z=h$ における $\bar{f}_{mn}^{(10)}$ を組み合わせ、式(18)及び式(19)の境界条件を課すと次の 2 つの方程式が得られる。

$$\bar{C}_{mn} (\bar{e}^{2m\lambda} + \bar{e}^{2n\lambda} / \sinh(\lambda)) + \bar{F}_{mn} (1 + \tanh(\lambda) \bar{e}^{2m\lambda} / \sinh(\lambda)) = - \left[\sum_{m,n} \left\{ \bar{F}_{mn}^{(1)} \bar{f}_{mn}^{(1)} + \bar{F}_{mn}^{(2)} \bar{f}_{mn}^{(2)} \right\} + \bar{F}_{mn}^{(3)} \bar{f}_{mn}^{(3)} - \bar{F}_{mn}^{(4)} \bar{f}_{mn}^{(4)} + \bar{F}_{mn}^{(10)} \bar{f}_{mn}^{(10)} \right] \quad \cdots \cdots (38)$$

$$\bar{C}_{mn} (1 + \tanh(\lambda) \bar{e}^{2m\lambda} / \sinh(\lambda)) + \bar{F}_{mn} (\bar{e}^{2m\lambda} + \tanh(\lambda) \bar{e}^{2m\lambda} / \sinh(\lambda)) = - \left[\sum_{m,n} \left\{ \bar{F}_{mn}^{(1)} \bar{f}_{mn}^{(1)} + \bar{F}_{mn}^{(2)} \bar{f}_{mn}^{(2)} \right\} + \bar{F}_{mn}^{(3)} \bar{f}_{mn}^{(3)} - \bar{F}_{mn}^{(4)} \bar{f}_{mn}^{(4)} + \bar{F}_{mn}^{(10)} \bar{f}_{mn}^{(10)} + \bar{C}_{mn} / \lambda \right] \quad \cdots \cdots (39)$$

$$\left. \begin{aligned} \text{ここで, } \bar{f}_{mn}^{(1)} &= \frac{\partial V(m+1)}{\partial m \lambda_m} / \lambda_m^{m+1} [C_{m+1}(k \lambda_m) - C_{m+1}(A \lambda_m)], \quad \bar{f}_{mn}^{(2)} = \frac{\partial V(m+2)}{\partial m \lambda_m} / \lambda_m^{m+2} [C_{m+1}(k \lambda_m) - C_{m+1}(A \lambda_m)] \\ \bar{f}_{mn}^{(3)} &= \frac{\partial V}{\partial m \lambda_m} / \lambda_m^m [k C_{m+1}(k \lambda_m) - C_1(A \lambda_m)], \quad \lambda_m = k^2 C_{m+1}^2(k \lambda_m) - C_{m+1}^2(A \lambda_m), \quad A_m = k^2 G^2(k \lambda_m) - G^2(A \lambda_m) \\ \bar{f}_{mn}^{(4)} &= (-1)^m \bar{f}_{mn}^{(1)}, \quad \bar{f}_{mn}^{(10)} = (-1)^m \bar{f}_{mn}^{(2)} \\ \bar{f}_{mn}^{(10)} &= \frac{2(fa)^2}{\lambda_m^2 + (fa)^2} \left[k C_{m+1}(k \lambda_m) \left\{ f(f_a + m + 2V) - \frac{2(fa)^2}{\lambda_m^2 + (fa)^2} \right\} + f_{ab} f'_b + f_a f_b \right] \\ &\quad - C_{m+1}(A \lambda_m) \left[f(f_a + m + 2V) - \frac{2(fa)^2}{\lambda_m^2 + (fa)^2} \right] f'_a + f_{ba} f'_a + f_a f'_b \\ \bar{f}_{mn}^{(10)} &= \frac{2(fa)^2}{\lambda_m^2 + (fa)^2} \left[k C_{m+1}(k \lambda_m) \left\{ f(f_b + m + 2V) - \frac{2(fa)^2}{\lambda_m^2 + (fa)^2} \right\} f_b - f_{ab} f'_b + f_b \right] \\ &\quad - C_{m+1}(A \lambda_m) \left[f(f_b + m + 2V) - \frac{2(fa)^2}{\lambda_m^2 + (fa)^2} \right] f'_a - f_{ba} f'_a + f_b f'_a \end{aligned} \right\} \quad \cdots \cdots (40)$$

式(32), 式(33), 式(34), 式(38)及び式(39)は、 $\bar{F}_{mn}^{(1)}, \bar{F}_{mn}^{(2)}, \dots, \bar{C}_{mn}$ 及び \bar{F}_{mn} に関する連立 1 次方程式の群を構成しており、これらの群に含まれていてる未知定数は反復法により数値的に求められる。ここでは、解の収束を早め、更に振動の影響を緩和するために式を無次元化し、数値計算をより正確に行うために変形 Bessel 関数を含む項を比の形で表めしている。

5. 数値計算例

数値計算例として、円環厚板の外半径と内半径の比 $b/a = 4.0$, 板幅 d , 板厚 λ の円環厚板が中心角 $2\theta_0 = \pi/18$ 及び縦幅 C と板厚 λ の比 $C/\lambda = 0.25$ の扇形領域上に部分分布した荷重(荷重強度 q)を担った場合を取った。また、板厚比 $c = 2.0$, ポアソン比 $\nu = 0.25$, 無数の項数 m は偶数のみ 20 項, n に関しては 20 項, S に関しては 38 項採用して求めたものである。図-2 から図-4 には、 $\theta = 0$ の応力分布を示した。また、図-5 及び図-6 には、 $\theta = 0$ の面における応力分布を厚板理論の数値結果³⁾との比較を示した。

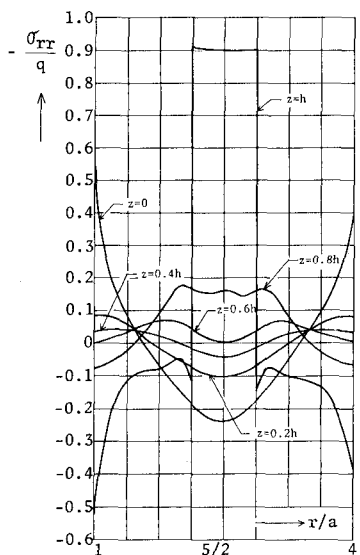


図-2 σ_{rr} の分布

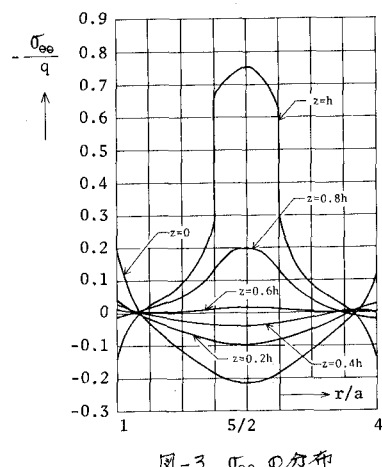


図-3 $\sigma_{\theta\theta}$ の分布

- (1) 図-2における σ_{zz} は、 $z=h$ の場合、荷重作用域の境界で大きな圧縮応力から引張応力に急変し、 $z=0$ では、板の外周辺及び内周辺で大きな圧縮応力が生じ、 $z=h$ では、引張応力が生じている。
- (2) 図-3における σ_{yy} は、 $r/a=5/2$ で大きく左右対称の分布を示している。また、厚板表面の荷重作用部分の値が大きくなり、 $r/a=5/2$ の値では、 $z=0.5h$ を境に引張応力から圧縮応力に変わっていることを示している。
- (3) 図-4における σ_{zz} は、 $z=0.8h$ 、 $r=b$ で小さな値であるが σ_{zz} が引張応力になることを示している。
- (4) 図-5は、厚板理論と比較した σ_{yy} の応力分布である。 $r/a=7/4$ 、 $r/a=5/2$ とともに厚板下面にいくにしたがって、わずかに差異が見られるが良く一致している。
- (5) 図-6は、同じく厚板理論と比較した σ_{yy} の分布である。 $r/a=7/4$ 、 $r/a=23/8$ ともに一致しているのがわかる。

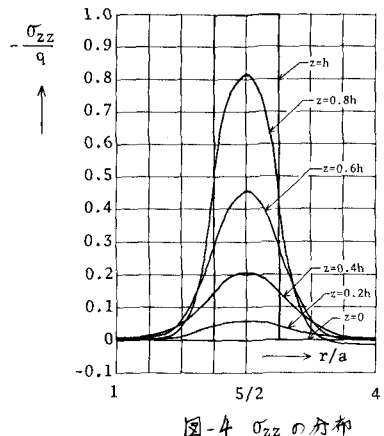


図-4 σ_{zz} の分布

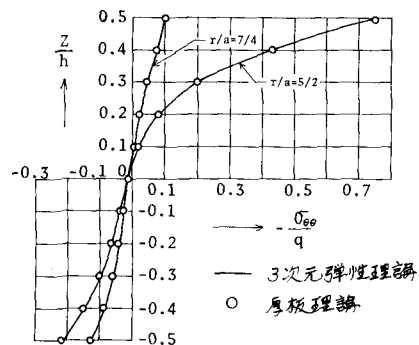


図-5 σ_{yy} の分布

6. あとがき

変位ポテンシャルが、すべて調和関数で表される3次元改良版のNeuberの解を用いて数値計算を行ない、円環厚板周辺における荷重載荷部分の変形、及び応力状態明るさにすることができた。

また、厚板理論の数値計算結果と比較し、本理論の有用性を示した。さらに、変位ポテンシャルがすべて調和関数で表されるため、式の複雑さもかなり避けられ非軸対称問題の解として長所を有していることを示した。

なお、未知定数すなわち $D_m^{(1)}, D_m^{(2)}, E_m^{(1)}$ 及び $E_m^{(2)}$ を消去するなど、数値計算する場合においても、式の無次元化、及び、変形Bessel関数の項を逐一置き換えるのはもちろんであるが、この場合には、加速係数を0.8にレフタード計算すると、亟めて良い収束が得られる。

参考文献

- 1) 奥村 勇, 鹿中孝美, 萩村 仁; 円柱座標における非軸対称問題の解の一表現について, 土木学会, 第38回年講演要集第1部, pp. 15~16, 昭和59年9月
- 2) 奥村 勇, 進藤 隆文; 厚板理論による円環厚板の解析について, 土木学会北海道支部論文報告集第40号, pp. 97~102, 昭和59年2月

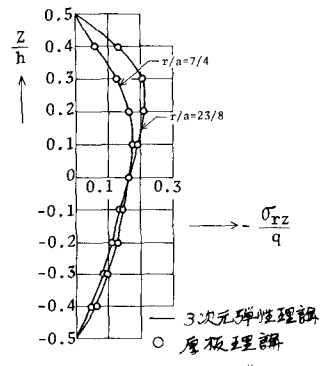


図-6 σ_{zz} の分布